

Повторение формы сверхбыстрой автомодуляции спектра поглощения света при изменении энергии импульса накачки GaAs

© Н.Н. Агеева, И.Л. Броневой[¶], Д.Н. Забегаев, А.Н. Кривоносов

Институт радиотехники и электроники им. В.А. Котельникова Российской академии наук,
125009 Москва, Россия

(Получена 10 марта 2010 г. Принята к печати 7 апреля 2010 г.)

Сверхбыстрая автомодуляция фундаментального поглощения света возникает во время интенсивной пикосекундной оптической накачки GaAs и, по основному предположению, отображает автоколебания обеднения заселенности электронов в зоне проводимости. В настоящей работе дается количественно подтвержденное объяснение экспериментально обнаруженному ранее циклическому повторению формы сверхбыстрой автомодуляции спектра поглощения при изменении энергии импульса накачки и фиксированной задержке между накачкой и зондированием (измерением поглощения). Повторение формы объясняется изменением фазы автоколебаний поглощения света. Объяснение основано на ранее экспериментально обнаруженной зависимости частоты автоколебаний поглощения от энергии накачки. Поэтому оно также является и новым подтверждением указанной зависимости (удовлетворительно совпадающей с аналогичной расчетной зависимостью частоты автоколебаний обеднения заселенности).

Автомодуляция фундаментального поглощения света возникает во время интенсивной пикосекундной оптической накачки GaAs [1–3]. Под автомодуляцией спектра поглощения подразумевается спонтанное возникновение неоднородного, повторяющегося по спектру с периодом $\Delta = \hbar\omega_{LO}(1 + m_e/m_h) \approx 40$ мэВ [1,4,5] усиления поглощения, здесь $\hbar\omega_{LO}$ — энергия продольного оптического фонона, m_e — масса электрона, m_h — масса тяжелой дырки [6]. Автомодулированный спектр представляется как сумма гладкого (без локальных особенностей) спектра и двух, собственно представляющих автомодуляцию, компонент. Мы не будем здесь касаться крупномасштабной компоненты автомодуляции, имеющей в спектральном интервале Δ форму несимметричного колокола с шириной основания Δ и „размывающейся“ за время > 10 пс [2,4,5,7]. Внимание будет обращено на локальные особенности (выступы и вогнутости) со спектральной шириной менее Δ , представляющие вторую компоненту. Эта компонента представляет тонкую структуру автомодуляции, меняющуюся за время < 1 пс, за что она и названа сверхбыстрой автомодуляцией. Предшествующие исследования сверхбыстрой автомодуляции поглощения представлены в [3,5,7–9]. По основному предположению, согласующемуся с полученными к настоящему времени результатами, сверхбыстрая автомодуляция поглощения света отображает субтерагерцовые автоколебания обеднения заселенности электронов в зоне проводимости. Автоколебания обеднения возникают в результате совместного влияния накачки, собственного стимулированного излучения GaAs и электрон-ЛО-фононного взаимодействия на электронно-дырочную плазму (ЭДП) [9].

В экспериментах pump-probe с длительностью (FWHM) импульсов накачки и зондирования около 10 пс было обнаружено повторение формы сверхбыстрой ав-

томодуляции спектра поглощения не только по спектру. Циклическое повторение формы наблюдалось в следующих ситуациях [8]: 1) по мере изменения задержки τ зондирующего импульса относительно импульса накачки с фиксированной энергией W ; 2) при изменении энергии импульса накачки W и фиксированной τ , близкой к нулю. Количественно подтвержденное объяснение первой ситуации было дано в [7] для области τ , близких к нулю, в которой накачка приближается к квазистационарной. Для второй ситуации объяснение предлагается в настоящей работе. Оно основывается на установленной в [7] зависимости частоты F автоколебаний поглощения от энергии W , а эта зависимость удовлетворительно совпадает с расчетной зависимостью от W частоты автоколебаний обеднения заселенности [9].

На рис. 1 представлены спектры поглощения, измеренные в [8] при фиксированной задержке $\tau = 3$ пс и различных W , обозначенных в относительных единицах (о.е.). Для наглядности спектры представлены еще и сплошными линиями, которые выделяют крупные явные, обсуждаемые далее, локальные особенности на спектре и усредняют разброс экспериментальных точек или мелкую модуляцию (которые трудно различимы). На спектрах, полученных при накачке с $W = 0.2, 1.2$ и 1.9 о.е. (кривые 1, 3 и 5) вблизи $\hbar\omega \approx 1.43$ эВ располагался выступ (на который стрелки указывают снизу), а вблизи $\hbar\omega \approx 1.44$ эВ небольшая вогнутость (стрелки сверху), граничащая с перегибом. При $W = 1.6$ и 2.2 о.е. (кривые 4 и 6) сверхбыстрая автомодуляция была приблизительно противоположной: в области $\hbar\omega \approx 1.43$ эВ наблюдались локальные вогнутости (на которые стрелки указывают сверху), а вблизи $\hbar\omega \approx 1.44$ эВ на спектре появлялся локальный максимум (стрелки снизу).

При сравнении модуляции спектров надо учитывать, что модуляция „накладывается“ на гладкий спектр, ассоциируемый с расчетным спектром при фермиевском распределении ЭДП. Крутизна расчетного спектра

[¶] E-mail: bil@cplire.ru

в исследуемом спектральном интервале меняется при изменении плотности и температуры ЭДП (см. рис. 1 в [3]). Следует учитывать, что даже если бы при каких-то двух W возникла абсолютно одинаковая модуляция двух спектров, то при непрерывном изменении модуляции с W , имея возможность только дискретно менять W , найти экспериментально именно эти два спектра практически нереально. В такой экспериментальной ситуации совпадение форм может быть установлено только приближенно. Учитывая вышесказанное, можно принять, что одну сходную форму модуляция имеет при $W = 0.2$, 1.2 и 1.9 о.е., другую при $W = 1.6$ и 2.2 о.е. Промежуточной между этими формами является форма модуляции спектра при $W = 0.8$ о.е. (кривая 2), поскольку выступ при $\hbar\omega \approx 1.44$ эВ наполовину размыт. Таким образом, при изменении W форма сверхбыстрой автомодуляции спектров на рис. 1 меняется, циклически приближенно повторяясь.

Хотя в [8] спектры были измерены до $\hbar\omega \approx 1.458$ эВ, на рис. 1 они представлены до $\hbar\omega \approx 1.452$ эВ. Это

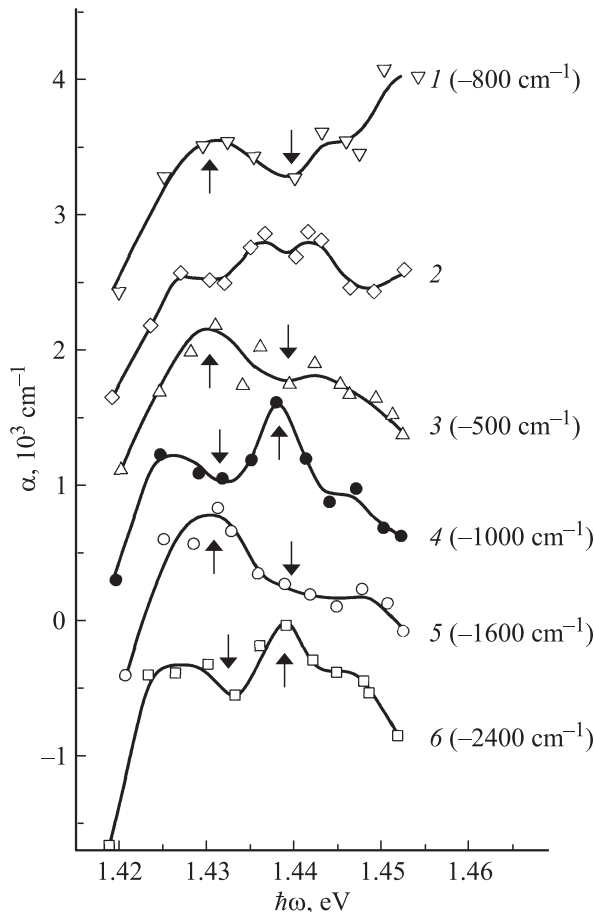


Рис. 1. Спектры поглощения, измеренные при задержке $\tau = 3$ пс и различных энергиях накачки W , о.е. (относительные единицы): 1 — 0.2, 2 — 0.8, 3 — 1.2, 4 — 1.6, 5 — 1.9, 6 — 2.2. Для наглядности спектры сдвинуты относительно своего истинного положения на величину, указанную в скобках справа от спектров. Стрелки на графике поясняются в тексте.

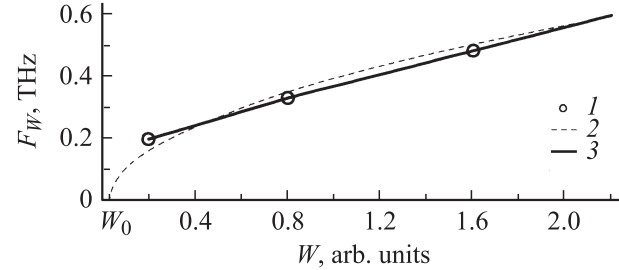


Рис. 2. Частота F_W автоколебаний поглощения света при различных энергиях накачки W : 1 — эксперимент, 2 — расчет, 3 — экстраполяция. W_0 — пороговая для появления собственного излучения энергия накачки.

сделано потому, что через опущенный участок спектра проходит граница интервала $\Delta \approx 40$ мэВ, с которым модуляция повторяется по спектру благодаря электрон-LO-фононному взаимодействию. Чтобы выделить сверхбыструю автомодуляцию вблизи такой границы, ширины измеренного в [8] участка спектра (а она обусловливалась трудоемкостью и длительностью измерений) недостаточно, как пояснялось в [5]. Поэтому область вблизи границы мы не рассматриваем.

Циклическое повторение в [8] формы автомодуляции спектра поглощения по мере изменения τ при фиксированной W позволяло предположить значительную степень когерентности автоколебаний поглощения света с различными $\hbar\omega$ во время накачки. Пока только в интервале τ , близких к нулю, сверхбыстрая автомодуляция спектра поглощения была представлена как результат когерентных автоколебаний поглощения света с различными энергиями фотона $\hbar\omega$ [7]. Из полученных в [7] амплитудно-фазо-частотных характеристик этих автоколебаний в настоящей работе используется зависимость их частоты F_W от W (рис. 2). С помощью этой зависимости мы сопоставили циклическое повторение формы модуляции с тем изменением фазы автоколебаний в фиксированный момент накачки, которое обусловлено изменением W . При этом предполагалось, что автоколебания поглощения при разных $\hbar\omega$ когерентны не только в области близких к нулю τ (т.е. в области максимума накачки), но и на фронте импульса накачки, и частота автоколебаний является функцией интенсивности накачки. Последнее предполагалось и в [7–9] на основании полученных в этих работах результатов. Использовавшаяся далее при оценках зависимости $F_W = f(W)$ (кривая 3) была экстраполированной через экспериментальные точки до $W = 2.2$ о.е. Эта экстраполяция приемлема, поскольку не противоречит расчетной зависимости от W частоты автоколебаний обеднения заселенности [9].

В эксперименте [8] при изменении энергии W менялась амплитуда импульса накачки, а его временная и пространственная формы оставались неизменными. Поэтому при накачке импульсом с энергией W частота автоколебаний F в момент времени t может быть пред-

ставлена как произведение $F = F_W g(t)$, где $[F, F_W] = \text{ТГц}$, а форм-фактор $g(t)$ — это изменение частоты автоколебаний во время накачки импульсом с той W , при которой $F_W = 1 \text{ ТГц}$. Соответственно в момент времени $t = t_1$ фаза автоколебаний ϕ_W , начавшихся в момент $t = t_0$ при накачке импульсом с энергией W , может быть определена выражением

$$\phi_W = 2\pi \int_{t_0}^{t_1} F dt = 2\pi F_W \int_{t_0}^{t_1} g dt. \quad (1)$$

Вышеописанное циклическое изменение формы модуляции спектра поглощения позволяет предположить, что при изменении W от 2.2 до 1.9 о.е. фаза ϕ_W меняется приблизительно на π :

$$\phi_{2.2} - \phi_{1.9} = 2\pi(F_{2.2} - F_{1.9}) \int_{t_0}^{t_1} g dt \approx \pi. \quad (2)$$

Тогда изменение фазы при изменении энергии W относительно фазы при $W = 2.2 \text{ о.е.}$ может быть приблизительно оценено с помощью выражения

$$\phi_{2.2} - \phi_W = \frac{\pi(F_{2.2} - F_W)}{F_{2.2} - F_{1.9}}. \quad (3)$$

Здесь предположено, что приближенно можно принять t_0 одинаковым для $W = 0.2\text{--}2.2 \text{ о.е.}$, учитывая, что $W \gg W_0$, где $W_0 = 0.03 \text{ о.е.}$ — энергия накачки, пороговая для появления собственного излучения, необходимого для образования автомодуляции поглощения [9]. При том, что частота автоколебаний поглощения не зависит от $\hbar\omega$ и автоколебания когерентны [7], $\phi_{2.2} - \phi_W$ не зависит от $\hbar\omega$.

Зависимость $\phi_{2.2} - \phi_W = f(W)$, рассчитанная в приближении (3) с помощью $F_W = f(W)$, представлена на рис. 3. Для тех W , при которых измерялись спектры, значения $\phi_{2.2} - \phi_W$ дополнительно представлены как в таблице, так и значками на графике. Для $W = 1.9, 1.6, 1.2, 0.2 \text{ о.е.}$ разность фаз близка к

$$\phi_{2.2} - \phi_W \approx \pi n, \quad (4)$$

где с точностью $\leq 0.2\pi$ n — целое число. Форма модуляции спектра была сходной, во-первых, при $W = 2.2$ и 1.6 о.е. и в (4) $n = 2$ (т.е. четное) для $W = 1.6 \text{ о.е.}$ Во-вторых, иной формы, но сходной между собой, была модуляция при энергиях $W = 1.9, 1.2, 0.2 \text{ о.е.}$, для которых в приближении (4) с указанной точностью n — нечетное. Промежуточной между этими двумя формами была форма модуляции при $W = 0.8 \text{ о.е.}$ В согласии с этим и разность фаз не соответствует (4), а равна $\phi_{2.2} - \phi_{0.8} = \pi n + 0.6\pi = 4.6\pi$. Из приведенного сопоставления следует, что форма сверхбыстрой автомодуляции спектра, меняясь при изменении фазы ϕ_W приблизенно повторяется, когда изменение фазы кратно 2π .

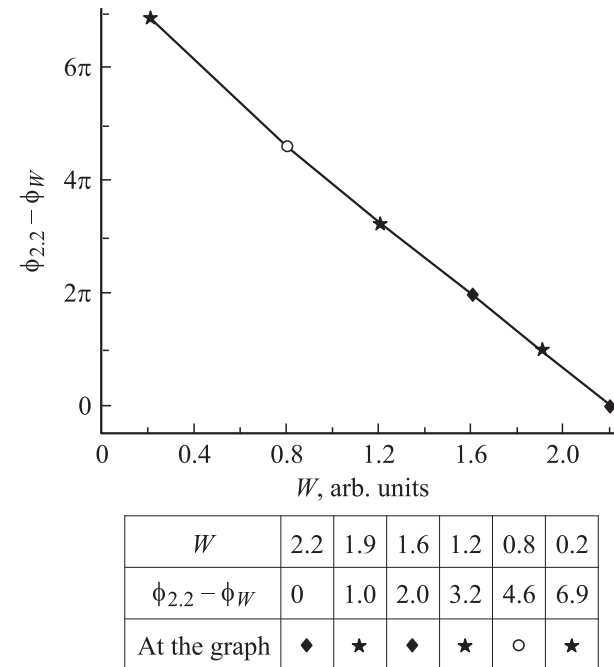


Рис. 3. График и таблица разности фаз $\phi_{2.2} - \phi_W$ в функции от энергии накачки W . Значками на графике отмечены те точки этой зависимости, параметры которых приведены в таблице.

Таким образом, вышеупомянутые оценки показали, что изменением фазы автоколебаний поглощения можно объяснить циклическое повторение формы сверхбыстрой автомодуляции спектров фундаментального поглощения света, наблюдавшееся в [8] при изменении энергии импульса накачки W и фиксированной, близкой к нулю, временной задержке τ . Это объяснение является еще и новым подтверждением той зависимости от W частоты автоколебаний поглощения, которая была обнаружена в [7] и объяснена количественно в [9] автоколебаниями обеднения заселенности электронов. Полученное объяснение говорит также в пользу того, что автоколебания в течение пикосекундной накачки являются приблизительно когерентными.

Авторы признательны Ю.В. Андрееву за обсуждение рукописи статьи.

Список литературы

- [1] I.L. Bronevoi, A.N. Krivonosov, V.I. Perel'. Sol. St. Commun., **94**, 805 (1995).
- [2] I.L. Bronevoi, A.N. Krivonosov, T.A. Nalet. Sol. St. Commun., **98**, 903 (1996).
- [3] Н.Н. Агеева, И.Л. Броневой, А.Н. Кривоносов, С.В. Стеганцов. ФТП, **40** (7), 806 (2006).
- [4] Н.Н. Агеева, И.Л. Броневой, А.Н. Кривоносов, С.Е. Кумеков, С.В. Стеганцов. ФТП, **36** (2), 144 (2002).
- [5] Н.Н. Агеева, И.Л. Броневой, А.Н. Кривоносов, Т.А. Налет, С.В. Стеганцов. ФТП, **41** (12), 1418, (2007).
- [6] J.S. Blakemore. J. Appl. Phys., **53**, R123 (1982).

- [7] Н.Н. Агеева, И.Л. Броневой, А.Н. Кривоносов. ФТП, **42** (12), 1426 (2008).
- [8] Н.Н. Агеева, И.Л. Броневой, А.Н. Кривоносов, Т.А. Налет. ФТП, **42** (9), 1053 (2008).
- [9] Н.Н. Агеева, И.Л. Броневой, Д.Н. Забегаев, А.Н. Кривоносов. ФТП, **44** (9), 1157 (2010).

Редактор Л.В. Беляков

Repetition of ultrafast self-modulation of light absorption spectrum with a change of the energy of pulse pumping of GaAs

*N.N. Ageeva, I.L. Bronevoi, D.N. Zabegaev,
A.N. Krivonosov*

Kotel'nikov Institute of Radioengineering
and Electronics, Russian Academy of Sciences,
125009 Moscow, Russia

Abstract Ultrafast self-modulation of fundamental absorption of light arises during intensive picosecond optical pumping of GaAs and, by core contemplation, displays self-oscillations of electron population depletion in conduction band. In the present work, we offer quantitatively confirmed explanation of earlier experimentally found cyclic repetition of the form of ultrafast self-modulation of absorption spectrum, occurring with a change of pumping pulse energy at fixed delay between pumping and probing (absorption measurement). The form repetition is explained by change of the phase of light absorption self-oscillations. Explanation is based on the earlier experimentally found dependence of absorption self-oscillations frequency on the pumping energy. Therefore it is also a new confirmation of the mentioned dependence (well coinciding with analogous calculated dependence of the frequency of population depletion self-oscillations).